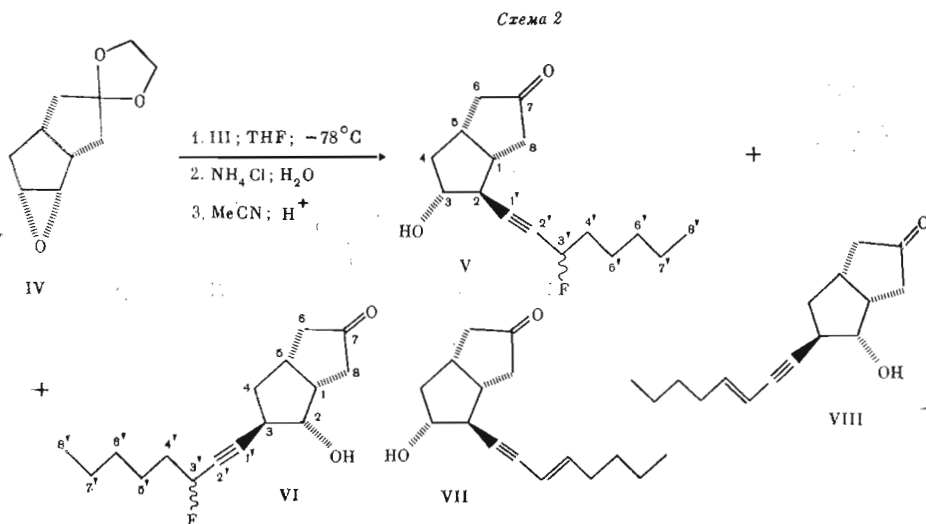




Данные спектров  $^{13}\text{C}$ -ЯМР соединений (II), (IIa), (V)–(VIII) ( $\delta$ , м. д.,  $\text{CDCl}_3$ )

| Номер атома углерода | (II)     |                 | (IIa)    |                 | (V)      |                 | (VI)     |                 | (VII)    |                 | (VIII)   |                 |
|----------------------|----------|-----------------|----------|-----------------|----------|-----------------|----------|-----------------|----------|-----------------|----------|-----------------|
|                      | $\delta$ | $J_{\text{CF}}$ |
| 1                    | —        | —               | —        | —               | 46,3     | —               | 43,3     | —               | 47,2     | —               | 43,2     | —               |
| 2                    | —        | —               | —        | —               | 44,8     | —               | 78,8     | —               | 45,1     | —               | 79,2     | —               |
| 3                    | —        | —               | —        | —               | 79,0     | —               | 36,4     | —               | 79,2     | —               | 35,9     | —               |
| 4                    | —        | —               | —        | —               | 41,1     | —               | 38,0     | —               | 41,1     | —               | 38,4     | —               |
| 5                    | —        | —               | —        | —               | 35,8     | —               | 38,8     | —               | 35,7     | —               | 39,7     | —               |
| 6                    | —        | —               | —        | —               | 45,4     | —               | 45,9     | —               | 45,7     | —               | 46,0     | —               |
| 7                    | —        | —               | —        | —               | 219,0    | —               | 220,8    | —               | 219,6    | —               | 220,8    | —               |
| 8                    | —        | —               | —        | —               | 43,5     | —               | 38,0     | —               | 43,5     | —               | 37,9     | —               |
| 1'                   | 86,2     | 9,8             | 81,4     | —               | 88,7     | 8,8             | 89,6     | 10,1            | 93,6     | —               | 94,5     | —               |
| 2'                   | 80,8     | 22,0            | 80,7     | —               | 79,9     | 26,4            | 79,3     | 26,4            | 80,0     | —               | 79,5     | —               |
| 3'                   | 82,5     | 168,5           | 108,4    | —               | 83,01    | 166,0           | 83,07    | 166,0           | 108,9    | —               | 109,0    | —               |
| 4'                   | 36,0     | 22,0            | 146,1    | —               | 36,1     | 22,6            | 36,2     | 22,6            | 143,8    | —               | 143,5    | —               |
| 5'                   | 24,3     | 7,3             | 30,1     | —               | 24,2     | —               | 24,2     | —               | 29,6     | —               | 29,8     | —               |
| 6'                   | 31,6     | —               | 31,1     | —               | 31,3     | —               | 31,3     | —               | 31,0     | —               | 31,0     | —               |
| 7'                   | 22,6     | —               | 22,4     | —               | 22,5     | —               | 22,5     | —               | 22,3     | —               | 22,3     | —               |
| 8'                   | 14,0     | —               | 14,0     | —               | 13,9     | —               | 14,0     | —               | 13,9     | —               | 13,9     | —               |

региоизомерные фторкетолы (V) и (VI) в соотношении 1 : 1, разделение которых на силикагеле не представляет трудностей. Так же хорошо отделяются от основных продуктов реакции побочные дефторированные кетолы (VII) и (VIII), образующиеся из примесного октиненбората (IIa) (схема 2) или в ходе реакции.



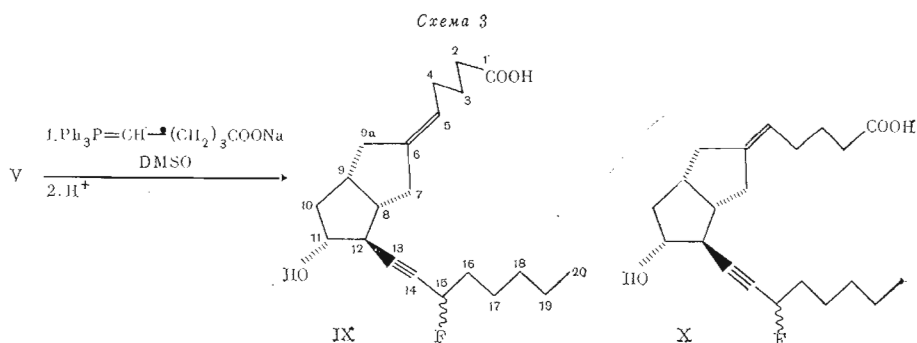
Структура соединений (II), (V–VIII) подтверждена спектрами  $^{13}\text{C}$ -ЯМР (табл. 1).

Отнесение химических сдвигов ядер  $^{13}\text{C}$  соединения (II) на основе химических сдвигов 1-октина [14] и констант спин-спинового взаимодействия ( $\text{KCCB}$ )  $^n J_{\text{CF}}$  ( $n = 1, 2, 3$ ) не представляет трудностей. Таким же образом, учитывая диамагнитный эффект тройной связи при  $\alpha$ -углероде, отнесение линий в спектре  $^{13}\text{C}$ -ЯМР инена (IIa) можно считать прямым.

Фторкетол (V) превращен в *E*- и *Z*-изомеры 15-фтор-13,14-дидегидрокарбацклина (IX и X соответственно) реакцией Виттига в обычных условиях синтеза [15, 16]. Тут важно то обстоятельство, что в этих условиях ( $\text{NaH}$ ,  $\text{DMSO}$ ) не происходит существенного отщепления  $\text{HF}$ . Изомеры (IX) и (X) разделены на силикагеле. Их структура установлена методом  $^{13}\text{C}$ -ЯМР (табл. 2).

Данные спектров  $^{13}\text{C}$ -ЯМР соединений (IX) и (X) ( $\delta$ , м. д.,  $\text{CDCl}_3$ )

| Номер атома углерода | (IX)                 |                 | (X)                  |                 |
|----------------------|----------------------|-----------------|----------------------|-----------------|
|                      | $\delta\alpha/\beta$ | $J_{\text{CF}}$ | $\delta\alpha/\beta$ | $J_{\text{CF}}$ |
| 1                    | 178,5                | —               | 179,2                | —               |
| 2                    | 33,25                | —               | 38,34                | —               |
| 3                    | 24,75                | —               | 24,74                | —               |
| 4                    | 28,63                | —               | 28,63                | —               |
| 5                    | 121,54/121,38        | —               | 121,34/121,18        | —               |
| 6                    | 141,89/142,22        | —               | 141,95/142,19        | —               |
| 7                    | 35,49/35,59          | —               | 33,3                 | —               |
| 8                    | 46,75/46,99          | —               | 47,42/47,52          | —               |
| 9                    | 37,91                | —               | 37,12/36,96          | —               |
| 9 $\alpha$           | 38,77                | —               | 40,45/40,32          | —               |
| 10                   | 41,14/41,01          | —               | 40,75/40,86          | —               |
| 11                   | 78,12/78,34          | —               | 78,13/78,27          | —               |
| 12                   | 45,08/45,20          | —               | 45,74/45,90          | —               |
| 13                   | 89,83                | 9               | 89,7                 | 9               |
| 14                   | 78,90                | 26,2            | 78,90                | 26              |
| 15                   | 83,20                | 166,4           | 83,16                | 165,1           |
| 16                   | 36,25                | 23,3            | 36,17                | 22,6            |
| 17                   | 24,28                | 5,1             | 24,23                | 5               |
| 18                   | 31,29                | —               | 31,23                | —               |
| 19                   | 22,49                | —               | 24,46                | —               |
| 20                   | 13,95                | —               | 13,92                | —               |



Определение структуры и конфигурации полупродуктов (V) и (VIII) произведено на основании ранее известных ЯМР-характеристик аналогичных 3'-гидроксипроизводных [40] и соединений (II) и (IIa).

С учетом различий в замещении при C15 хим. сдвиги конечных продуктов (IX) и (X) хорошо совпадают с хим. сдвигами 15-гидроксианалогов [10]. Сделанные отнесения всех фторпроизводных, т. е. соединений (II), (V), (IX) и (X), подтверждаются величинами КССВ, причем, как и следовало ожидать [47],  $^1J_{\text{CF}} \gg ^2J_{\text{CF}} > ^3J_{\text{CF}}$ .

Отметим, что отнесение хим. сдвигов углеродов 15 $\alpha$ (15S)- и 15 $\beta$ (15R)-диастереомеров (IX) и (X) в табл. 2 приведено условно, так как сигналы углеродов C13 — C16 в спектрах  $^{13}\text{C}$ -ЯМР не расщеплены.

Антиагрегационные свойства аналогов (IX) и (X) определены *in vitro* на обогащенной тромбоцитами плазме крови кролика [1, 18]. Величина концентрации 50% ингибирования ADP-индуцированной агрегации тромбоцитов ( $\text{IC}_{50}$ ) составила для *E*-изомера более 300 мкМ. Известно, что антиагрегационная активность 13,14-дидегидрокарбациклина выше активности карбациклина ( $\text{IC}_{50}$  в пределах  $31 \cdot 10^{-3}$  мкМ) [19]. Полученные в настоящей работе данные о том, что 13,14-дидегидро-15-фтор-карбациклин (IX) приблизительно в 2000 раз менее активен, чем соответствующее 15-гидроксисоединение, указывают на существенную роль 15-ОН-группы в проявлении карбациклином антиагрегационной активности.

Авторы выражают благодарность В. Е. Пашиннику, В. И. Товстенко и Л. Н. Марковскому за предоставление диметиламинотрифторсульфурана.

### Экспериментальная часть

Спектры  $^{13}\text{C}$ -ЯМР снимали на спектрометре AM-500 (Bruker, ФРГ) в  $\text{CDCl}_3$  при комнатной температуре. Хим. сдвиги  $^{13}\text{C}$  определяли с использованием тетраметилсилана в качестве внутреннего стандарта (табл. 1 и 2). ТСХ проводили на пластинках с силикагелем Kieselgel 60F<sub>254</sub> (Merck), вещества обнаруживали фосфорномолибденовой кислотой в этаноле. Продукты синтеза разделяли колоночной хроматографией на силикагеле L 40/100 мм (Chemapol).

Синтезы с использованием металлоорганических реагентов проводили в атмосфере аргона. Для синтезов использовали абсолютные сольвенты: тетрагидрофуран (THF) и диэтиловый эфир перегоняли над  $\text{LiAlH}_4$ , *n*-гексан — над металлическим натрием; диметилсульфоксид (DMSO) дважды перегоняли под вакуумом при 65° С над  $\text{CaH}_2$ .

1-Октин-3-ол (I) готовили из 1-гексаналя реакцией с  $\text{HC}\equiv\text{CMgBr}$  по методу [20]. Этиленкеталь эндо-2,3-эпоксидбицикло[3,3,0]октан-7-она (IV) получали по методике [21]. Способ определения антиагрегационной активности аналогов простаглицина приведен в статьях [1, 18].

3-Фтор-1-октин (II). К суспензии сухого тонкорастертого NaF (2 г) в 15 мл абс. эфира при перемешивании в атмосфере аргона прибавляли 3,65г (27,4 ммоль) диметиламинотрифторсульфурана и перемешивали при комнатной температуре в течение 15 мин. Реакционную смесь охлаждали до 0° С и при интенсивном перемешивании прибавляли по каплям раствор 3,46 г (27 ммоль) 1-октин-3-ола (I) в 5 мл эфира. По окончании прибавления спирта (20 мин) смесь перемешивали при 0° С еще 0,5 ч и осторожно выливали в насыщенный охлажденный водный раствор  $\text{NaHCO}_3$ . Эфирный слой отделяли, водный экстрагировали эфиром (2 × 30 мл). Объединенные органические экстракты промывали насыщенным водным раствором  $\text{NaCl}$ , сушили  $\text{Na}_2\text{SO}_4$  и фильтровали через безводную окись алюминия. Эфир отгоняли, остаток перегоняли. Получили 2,5 г (71%) 3-фтор-1-октина (II) в виде бесцветной прозрачной жидкости (т. кип. 12—123° С), которая, по данным ГЖХ, содержит 82% целевого продукта.

2-Экзо(3'-фтор-1'-октинил)-3-эндо-гидроксидицикло[3,3,0]октан-7-он (V) и 2-эндо-гидрокси-3-экзо(3'-фтор-1'-октинил)бицикло[3,3,0]октан-7-он (VI). К раствору 425 мг 3-фтор-1-октина (II) в 4 мл THF при -78° С в аргоне добавляли 2,1 мл 1,46 н. раствора *n*-бутиллития в гексане, перемешивали 10 мин, добавляли раствор 0,4 мл  $\text{BF}_3 \cdot \text{Et}_2\text{O}$  (Fluka) в 0,5 мл THF и перемешивали еще 10 мин. К полученному реагенту (III) добавляли 400 мг этиленкетала 2,3-эндо-эпоксидбицикло[3,3,0]октан-7-она (IV) в 2,4 мл THF. Реакционную смесь перемешивали 30 мин при -78° С и гидролизировали 5 мл насыщенного раствора  $\text{NH}_4\text{Cl}$ . После добавления 10 мл раствора  $\text{NaCl}$  продукт экстрагировали этилацетатом, вытяжку промывали 9% раствором  $\text{NaHCO}_3$ ,  $\text{NaCl}$  и сушили  $\text{Na}_2\text{SO}_4$ .

После отгонки растворителей остаток (743 мг) растворяли в 22 мл ацетонитрила, добавляли 9 мл  $\text{H}_2\text{O}$  и 1 мл  $\text{H}_2\text{SO}_4$ , перемешивали 4 ч, затем нейтрализовали 9% раствором  $\text{NaHCO}_3$ , ацетонитрил отгоняли и водный раствор экстрагировали этилацетатом, вытяжку промывали насыщенным раствором  $\text{NaCl}$  и сушили  $\text{Na}_2\text{SO}_4$ . После отгонки этилацетата продукты синтеза разделяли колоночной хроматографией на силикагеле, элюируя смесь гексан — этилацетат, 2 : 1. Получили (по порядку выхода с колонки) 12 мг эфина (VIII) ( $R_f$  0,54; гексан — этилацетат, 1 : 1), 215 мг «регно»-изомера (VI) ( $R_f$  0,47), 10 мг синна (VII) ( $R_f$  0,4) и 217 мг изомера (V) ( $R_f$  0,33). Общий выход фторсодержащих соединений (V) и (VI) составил 74%.

5Е-6а-Карба-15-фтор-13,14-дидегидропростагландин  $I_2$  (IX) и 5Z-6а-карба-15-фтор-13,14-дидегидропростагландин  $I_2$  (X). Суспензию из 202 мг (4,8 ммоль) 57% дисперсного NaN в минеральном масле (Fluka) промывали трижды под аргоном *n*-гексаном, остаток упаривали досуха, добавляли 4,5 мл DMSO. Смесь перемешивали 1 ч при 65—70° С и охлаждали до 20° С. При перемешивании добавляли 1,0 г (2,4 ммоль) 4-карбоксибутилтрифенилфосфонийбромид. Реакционную смесь темно-красного цвета перемешивали 30 мин при 20° С. Затем добавляли раствор 133 мг кетона (V) в 2 мл THF, смесь перемешивали 24 ч и гидролизировали водой. Раствор подкисляли 1 н. раствором  $\text{NaHSO}_4$  до pH 3 и экстрагировали эфиром. Эфирные вытяжки объединяли, подкисляли 1 н. раствором  $\text{NaHSO}_4$  до pH 3 и снова экстрагировали эфиром. Эфирные вытяжки сушили  $\text{Na}_2\text{SO}_4$ , растворитель удаляли. E- и Z-Изомеры разделяли и очищали хроматографией на силикагеле, элюируя смесью гексан — этилацетат — изопропанол, 3 : 1 : 0,05. Получили 15 мг соединения (X) ( $R_f$  0,29; трижды элюирован) и 54 мг соединения (IX) ( $R_f$  0,2; трижды элюирован). Общий выход 28%.

### ЛИТЕРАТУРА

1. Lonn M. H., Myraus A. H., Parvee O. B., Välimäe T. K., Lonn A. X., Luukkai J. // Биоорган. химия. 1988. Т. 14. № 2. С. 222—231.
2. Barnette W. E. // CRC Crit. Rev. Biochem. 1984. V. 15. № 3. P. 201—235.
3. Bannai K., Toru T., Oba T., Tanaka T., Okamura N., Vatanabe K., Hazato A., Kurozumi S. // Tetrahedron. 1983. V. 39. № 22. P. 3807—3818.

4. Djuric S. W., Garland R. B., Nysted L. N., Parro R., Plume G., Swenton L. // *J. Org. Chem.* 1987. V. 52. № 6. P. 978—990.
5. Безуглов В. В., Бергельсон Л. Д. // *Биооргани. химия.* 1979. Т. 5. № 10. С. 1531—1536.
6. Безуглов В. В., Серков И. В., Гафуров Р. Г., Бергельсон Л. Д. // *Докл. АН СССР.* 1984. Т. 277. № 6. С. 1400—1402.
7. Bezuglov V. V., Manevich E. M., Bergelson L. D., Ovchinnikov Y. A. // *Prostaglandins and cardiovascular diseases* / Eds Ozawa T., Yamada K., Yamamoto S. *Jap. Sci. Soc. Press,* 1986. P. 191—200.
8. Aristoff P. A. // *Advances in Prostaglandins, Tromboxanes and Leukotrienes Research.* V. 14 / Eds. Pike J. E., Morton D. R., Jr. N. Y.: Raven Press, 1985. P. 309—392.
9. Lopp M., Parve O., Lõhmus M., Müraus A., Pals A., Välimäe T., Lille Ü. // *Abstr. of Papers ESOC IV Aix-en-Provence (France),* 1985. OC-29.
10. Парве О., Пальс А., Лõхмус М., Вялимяэ Т., Лале Л., Лопп М., Лилле Ю. // *Изв. АН ЭССР. Химия.* 1985. Т. 34. № 4. С. 285—291.
11. Lopp M. // *Proc. Acad. Sci. ESSR. Chemistry.* 1987. V. 36. № 3. P. 165—171.
12. Markovsky L. N., Pashinnik V. E., Kirsanov A. V. // *Synthesis.* 1973. № 12. P. 787.
13. Yamaguchi M., Hirao I. // *Tetrahedron Lett.* 1983. V. 24. № 4. P. 391—394.
14. Stothers J. B. *Carbon-13 NMR Spectroscopy.* N. Y.: Acad. Press, 1972. P. 85—90.
15. Greenwald R., Chaykovsky M., Corey E. J. // *J. Org. Chem.* 1963. V. 28. № 4. P. 1128—1129.
16. Corey E. J., Kwiatkowski G. T. // *J. Amer. Chem. Soc.* 1966. № 23. V. 88. P. 5653—5656.
17. Marchand A. P. // *Methods in Stereochemical Analysis.* V. 1 / Ed. Marchand A. P. Deelfield Beach. Florida: Verlag Chemie International. 1982. P. 102—165.
18. Born G. V. R. // *Nature.* 1962. V. 194. № 4832. P. 927—929.
19. Ceserani R., Longiave D., Grossoni M., Bergamaschi H., Gandolji C., Mongelli N., Zuliani L. // *IRCS Med. Sci. Libr. Compend.* 1981. V. 9. № 4. P. 364.
20. Данилова Н. А., Мифтахов М. С., Лопп М. И., Лилле Ю. Э., Толстиков Г. А. // *Докл. АН СССР.* 1983. Т. 273. № 3. С. 620—622.
21. Cave R., Howard C. C., Klinkert G., Newton R. F., Reynolds D. P., Wadsworth A. H., Roberts S. // *J. Chem. Soc. Perkin. Trans. I.* 1979. № 12. P. 2954—2958.

Поступила в редакцию  
25.XI.1987

**SYNTHESIS AND ANTIAGGREGATION ACTIVITY  
OF PROSTACYCLIN ANALOGUES. II. A DIRECT SYNTHESIS  
OF 15-FLUORO-13,14-DEHYDROCARBACYCLIN**

LOPP M., BERGMANN M., BEZUGLOV V.\*,  
VÄLIMÄE T.\*\*, LOPP A., LILLE Ü.

*Institute of Chemistry, Academy of Sciences of the Estonian SSR, Tallinn;*  
*\*M. M. Shemyakin Institute of Bioorganic Chemistry,*  
*Academy of Sciences of the USSR, Moscow; \*\*Institute of Chemical Physics and*  
*Biophysics,*  
*Academy of Sciences of the Estonian SSR, Tallinn*

*E*- and *Z*-isomers of 15-fluoro-13,14-dehydrocarbacyclin were synthesized starting from 2,3-epoxy-bicyclo[3.3.0]octan-6-one ethylene ketal with the use of 3-fluoro-1-octynylolithium-BF<sub>3</sub> reagent and Wittig condensation. The ratio of isomeric the oxirane opening reaction and Wittig olefinization products was in each case 1:1. The synthesized compounds were identified by <sup>13</sup>C NMR spectra. The antiaggregating activity of 5*E*-isomer was 2·10<sup>-4</sup> of the activity of corresponding 15-hydroxy compound, 5*Z*-isomer being even less active.